

PAPER DETAILS

TITLE: Yeni periferal tetra-(E)-4-(3-(3-(2,4,6-trimetoksifenil)akriloil)fenoksi) substitüe metalsiz ve metalli ftalosiyaninlerin sentezi ve karakterizasyonu

AUTHORS: Volkan ÇAKIR

PAGES: 189-197

ORIGINAL PDF URL: <https://dergipark.org.tr/tr/download/article-file/1043433>

Yeni periferal tetra-(E)-4-(3-(3-(2,4,6-trimetoksifenil)akriloil)fenoksi) substitüe metalsiz ve metalli ftalosiyantanlerin sentezi ve karakterizasyonu

Synthesis and characterization of novel peripherally tetra-(E)-4-(3-(3-(2,4,6-trimethoxyphenyl)acryloyl)phenoxy) substituted metal-free and metallophthalocyanines

Volkan ÇAKIR^{*1,a}

¹Giresun Üniversitesi, Espiye Meslek Yüksekokulu

Mülkiyet Koruma ve Güvenlik Bölümü, Acil Durum ve Afet Yönetimi Programı, 28200, Espiye/Giresun

• Geliş tarihi / Received: 09.04.2020 • Düzeltilek geliş tarihi / Received in revised form: 26.10.2020 • Kabul tarihi / Accepted: 28.12.2020

Öz

Bu çalışma kapsamında, yeni hidroksil bileşiği **1**, ftalonitril bileşiği **3**, periferal tetra-(E)-4-(3-(3-(2,4,6-trimetoksifenil)akriloil)fenoksi) substitue metalsiz (H_2Pc **4**) ve metalli ftalosiyantanlerin ($Co(II)Pc$ **5**, $Cu(II)Pc$ **6**, $Ni(II)Pc$ **7**, $Zn(II)Pc$ **8**) sentezi ve karakterizasyonu gerçekleştirılmıştır. **3** Bileşığının siklotetramerizasyon reaksiyonu sonucu yeni periferal tetra substitue metalsiz ftalosiyantan (**4**) elde edilmiştir. Yeni periferal tetra substitue metalli ftalosiyantanler ($Co(II)Pc$ **5**, $Cu(II)Pc$ **6**, $Ni(II)Pc$ **7**, $Zn(II)Pc$ **8**) ise **3** bileşığının *n*-pentanol ve 1,8-diazabisiklo[5.4.0]undek-7-en (DBU) karışımı içerisinde sırası ile susuz $CoCl_2$, $CuCl_2$, $NiCl_2$ ve $Zn(CH_3COO)_2$ tuzları ile kaynatılması sonucu sentezlenmiştir. Elde edilen yeni ftalosiyantan kompleksleri kloroform, diklorometan, tetrahidrofuran, dimetilsulfoksit ve dimetilformamid gibi yaygın organik çözücüler içerisinde iyi çözünürlük göstermiştir. Sentezi gerçekleştirilen yeni bileşikler (**1**, **3**, **4**, **5**, **6**, **7** ve **8**) IR, 1H NMR, ^{13}C NMR, kütle, UV-Vis spektroskopisi ve elementel analiz teknikleri kullanılarak karakterize edilmiştir.

Anahtar kelimeler: Ftalosiyantan, Karakterizasyon, Periferal, Sentez, Siklotetramerizasyon

Abstract

In this study, a new hydroxyl derivate **1**, phthalonitrile derivative **3** and peripherally tetra-(E)-4-(3-(3-(2,4,6-trimethoxyphenyl)acryloyl)phenoxy) substituted new metal-free **4**, $Co(II)$ **5**, $Cu(II)$ **6**, $Ni(II)$ **7** and $Zn(II)$ **8** phthalocyanine derivatives were synthesized and characterized. Metal-free Pc **4** was prepared by cyclotetramerization of phthalonitrile derivate **3** and MPcs **5-8** were synthesized by heating **3** with $CoCl_2$, $CuCl_2$, $NiCl_2$ and $Zn(CH_3COO)_2$ in *n*-pentanol in the presence of 1,8-diazabicyclo[5.4.0]undec-7-ene (DBU), respectively. These phthalocyanines were good soluble in organic solvents such as chloroform, dichloromethane, tetrahydrofuran, dimethylsulfoxide and dimethylformamide. The new compounds (**1**, **3**, **4**, **5**, **6**, **7** and **8**) were characterized by a combination of IR, 1H NMR, ^{13}C NMR, mass, UV-Vis spectroscopy and elemental analysis techniques.

Keywords: Phthalocyanine, Characterization, Peripheral, Synthesis, Cyclotetramerization

^a Volkan ÇAKIR; volkan.cakir@giresun.edu.tr, Tel: (0554) 348 83 14, orcid.org/0000-0002-5817-0817

1. Giriş

Ftalosiyainler (Pc) $18-\pi$ elektron sistemine sahip sekiz karbon ve sekiz azot atomu içeren onaltı üyesi düzlemsel aromatik bir makro halkadan oluşur. Yapısal olarak porfirinlere benzemelerine karşın onlar gibi doğal olarak oluşmazlar ve tamamen sentetik ürünlerdir. Ftalosiyainler siklotetramerizasyon reaksiyonu ile elde edilebilir. Bu reaksiyon çap olarak ftalosiyain halka içi boşluğuna uygun metal iyonlarının varlığında daha yüksek verimle gerçekleşir (Cu^{2+} , Co^{2+} , Ni^{2+} , Zn^{+2} ... gibi) (Mutlu vd; 2020).

Metalsız ve metalli ftalosiyainler günümüzde oldukça fazla uygulama alanına sahiptir. Bunlardan bazlarına örnek vermek gerekirse; günümüzde bakır ftalosiyainler boyar madde olarak kullanılabilmektedir (Yongde vd; 2006). Özellikle kobalt, demir ve rutenuyum ftalosiyainler çeşitli reaksiyonlarda katalizör olarak kullanılabilmektedir (Dini vd; 2003). Fotodinamik terapi (PDT) kanser tedavisinde kullanılmaya başlanılan ve klasik yöntemlere göre çok daha zararsız olan bir alternatifdir. Seçici olarak, tümörlü dokuyu yok eden ve fotosensitizer olarak adlandırılan bir ilaç ile ışığın kombinasyonunu kullanır. Metalli ftalosiyainler genellikle, 650-700 nm civarında maksimum absorpsiyon yapmakta ve Ga, Al ve Zn ftalosiyainler PDT'de fotosensitizer olarak kullanılmaktadır. Metalli ftalosiyainlerden çinko ftalosiyainler PDT için en uygun fotosensitizerlerden biridir (Kluson vd; 2008). Ftalosiyainlerin UV spektrumları, elektron veren veya çeken gazlara maruz bırakıldıklarında değişkenlik gösterdiği için ftalosiyainlerin kullanıldığı elektrokimyasal ve optik gaz sensörleri geliştirilmiştir (Sarkı vd; 2019). Yüksek kimyasal kararlılıklarından dolayı ftalosiyainler, CD-ROM ve DVD-ROM teknolojilerinde de kullanım olanağı bulmuştur (Bekaroglu; 1996).

Ftalosiyainlerin yukarıda bahsedilen ve daha birçok uygulama alanında kullanımını kısıtlayan en büyük problem yaygın organik çözücülerdeki düşük çözünürlük veya çözünmemeye problemdir (Ünlü vd; 2008). Ftalosiyainlerin uygulama alanlarında kullanımını kısıtlayan veya düşük etkinlik çıkmasına neden olan bir diğer önemli etkense çözücü içerisinde ftalosiyainlerin agregasyona (istiflenme) uğramasıdır. Ftalosiyain halkasında ligandların bağlanabileceği iki farklı pozisyon bulunmaktadır, bunlar periferal ve non-periferal olmak üzere adlandırılır. Ligandin bağlanması periferal konumdan gerçekleştiğinde çözeltide ftalosiyain molekülleri arasındaki moleküller arası etkileşimler daha kuvvetli olur ve

bu durum onların istiflenmesine (agregasyona) neden olur. Bu durumu engellemek için periferal pozisyonlara molekül ağırlığı büyük olan hacimli ligandlar bağlanarak ftalosiyain moleküllerinin çözelti içerisinde birbirlerine fazla yaklaşması engellenerek agregasyon azaltılabilir ayrıca çözünürlüğe de pozitif yönde katkı yapılmış olunur (Ao vd; 1995).

Sentez ve karakterizasyonu gerçekleştirilen hidroksil bileşiği **1**, ftalonitril bileşiği **3**, metalsiz ve metalli ftalosiyain kompleksleri **4**, **5**, **6**, **7** ve **8** orijinal bileşikler olup literatürde bulunmamaktadır. Çalışma kapsamında metalsiz, diamanyetik nikel(II) ve çinko(II) aynı zamanda paramanyetik kobalt(II) ve bakır(II) merkez metal iyonları içeren periferal tetra substitue ftalosiyain kompleksleri sentezlenmiştir. Sentezi gerçekleştirilen tüm yeni bileşikler (**1**, **3**, **4**, **5**, **6**, **7** ve **8**) Infrared, ^1H NMR, ^{13}C NMR, MS, elektronik absorpsiyon spektroskopisi ve elementel analiz teknikleri kullanılarak karakterize edilmiştir. Sentez ve karakterizasyonu gerçekleştirilen tüm kompleksler (**4**, **5**, **6**, **7** ve **8**) kloroform (CHCl_3), diklorometan (CH_2Cl_2), tetrahidrofuran (THF), dimetilsülfoksit (DMSO) ve dimetilformamid (DMF) gibi yaygın organik çözüçüler içerisinde çözünmektedir. Bu çalışmada tercih edilen dimetilsülfoksit (DMSO) çözucusu içerisinde agregasyon göstermemektedir. Bu özelliklerinden dolayı daha fazla uygulama alanı için daha farklı çalışmalarda kullanılabilecekleri düşünülmektedir.

2. Materyal ve metot

2.1. Kullanılan kimyasal madde ve malzemeler

Tüm kimyasallar yüksek kalitededir ve çeşitli ticari firmalardan satın alınmıştır. Tüm çözüçüler Merck firmasından satın alınmıştır ve kullanımdan önce destillenmiştir. Reaksiyonlar azot gazı atmosferinde nemsiz ortamda gerçekleştirilmiştir. Ftalosiyainlerin sentezinde Schlenk sistemi kullanılmıştır. Proton ve karbon nükleer manyetik rezonans spektrumları (^1H NMR, ^{13}C NMR), dötero-dimetilsülfoksit içerisinde Bruker Avance III 400 MHz NMR spektrometresi ile alınmıştır. Kimyasal kayma (δ) değerleri ppm, bağlanma sabiti değerleri (J) ise Hz (Hertz) cinsinden verilmiştir. Infrared spektrumları (IR) ATR tekniği kullanılarak Perkin Elmer 1600 Fourier Transform-Infrared (FT-IR-ATR) cihazı ile alınmıştır. Elektronik absorpsiyon spektrumları (UV-Vis) dimetilsülfoksit (DMSO) çözucusu içerisinde, oda sıcaklığında, 1 cm'lik yol uzunluğuna sahip küvetler kullanılarak Perkin Elmer Lambda 25 spektrofotometresi ile alınmıştır. Kütle

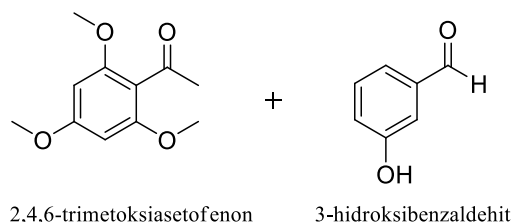
spektrumları (MS) için Bruker Microflex LT MALDI-TOF MS spektrometre cihazı kullanılmıştır. Elementel analiz Costech ESC 4010 cihazı kullanılarak gerçekleştirilmiştir. Erime noktaları Barnstead electro thermal 9200 cihazı ile tayin edilmiştir.

Bu çalışmada kloroform (CHCl_3), diklorometan (CH_2Cl_2), tetrahidrofuran (THF), dimetilsülfoksit (DMSO), dimetilformamid (DMF), metanol (MeOH), etanol (EtOH), sodyum hidroksit (NaOH), potasyum karbonat (K_2CO_3), hidroklorik asit (HCl), 1,8-diazabisiklo[5.4.0]undek-7-en (DBU), kobalt(II) klorür (CoCl_2), bakır(II) klorür (CuCl_2), nikel(II) klorür (NiCl_2), çinko(II) asetat ($\text{Zn}(\text{CH}_3\text{COO})_2$), azot gazı ($\text{N}_2(\text{g})$) kimyasalları kullanılmıştır. Reaksiyonların kontrolü ince tabaka kromatografisi (TLC) ile yapılmıştır.

2.2. Orijinal bileşiklerin sentezi

2.2.1. (E)-3-(3-hidroksifenil)-1-(2,4,6-trimetoksifenil)prop-2-en-1-one (1) bileşiğinin sentezi

2,4,6-trimetoksiasetofenon (0.5 g, 0.0024 mol) ve 3-hidroksibenzaldehit (0.29 g, 0.0024 mol) 10 mL

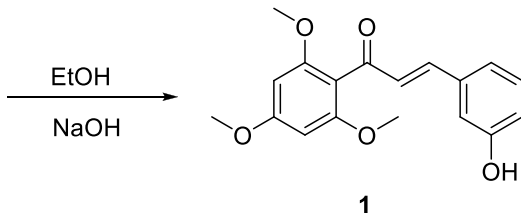


Şekil 1. 1 Numaralı bileşiğe ait sentez şeması

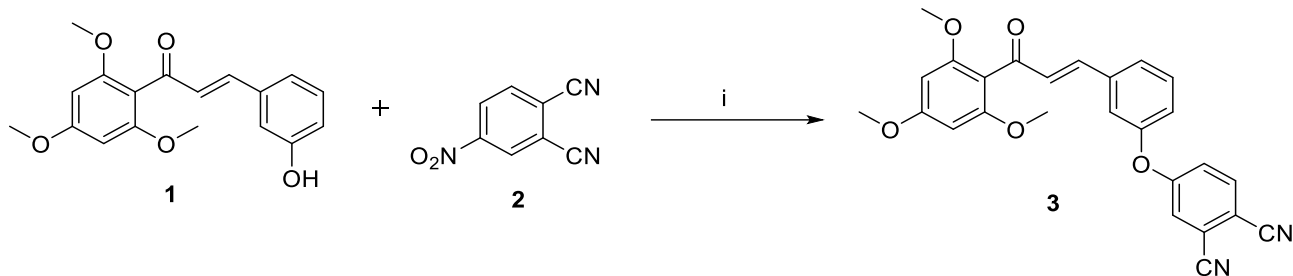
2.2.2. (E)-4-(3-(2,4,6-trimetoksifenil)akriloil)fenoksi)ftalonitril (3) bileşiğinin sentezi

25 mL'lik bir reaksiyon balonuna 1 nolu hidroksil bileşiği (3.00 g, 0.0095 mol), 4-nitro ftalonitril (2) (1.65 g, 0.0095 mol) ve 8 mL dimetilformamid (DMF) eklendi ve 60 °C'de yarım saat karıştırdı. Süre sonunda çözeltiye susuz potasyum karbonat (K_2CO_3) (3.93 g, 0.029 mol) 15 dakika aralıklarla eşit kısımlar halinde ilave edildi. Oluşan karışım azot gazı ($\text{N}_2(\text{g})$) atmosferi altında 60 °C'de 5 gün karıştırdı. Reaksiyon tamamlanınca karışım su-buz karışımı içerisinde döküldü ve karıştırıldı, çöken ham ürün süzülerek ayrıldı ve etanolden kristallendirilerek saflaştırıldı (3). Gerçekleştirilen reaksiyon Şekil 2'de gösterilmiştir. Verim: 3.37 g (% 80). Erime noktası = 90-92 °C. FT-IR (KBr, cm^{-1}): 3078 (Ar-H), 2942-2841 (Alif. C-H), 2233

etanol (EtOH) içerisinde çözüldü. Bu karışma oda sıcaklığında 5 mL % 40'luk sodyum hidroksit (NaOH) çözeltisi ilave edildi. Oluşan karışım oda sıcaklığında 1 gün karıştırıldı. Süre sonunda TLC kontrolü yapılarak reaksiyon sonlandırıldı. Reaksiyon sonucunda elde edilen karışım, su-buz karışımı içerisinde dökülkerek sarı renkli katı ham ürün çökene kadar hidroklorik asit (HCl) ile asitlendirildi. Elde edilen katı ham ürün süzülerek ayrıldı, kurutuldu. Ham ürün 1:1 etanol-su karışımı kullanılarak kristallendirildi ve ürün saf halde elde edildi. Gerçekleştirilen reaksiyon Şekil 1'de gösterilmiştir. Verim: 0.61 g (% 83). Erime noktası = 66-69 °C. FT-IR (KBr, cm^{-1}): 3219 (-OH), 3051 (Ar-H), 2937-2837 (Alif. C-H), 1680, 1616, 1577, 1410, 1227, 1126, 974, 779; ^1H NMR (400 MHz, CDCl_3 -DMSO-d₆) δ = 9.64 (-OH), 7.19 (m, 1H), 7.13 (d, J = 16 Hz., 1H), 7.04 (br, 1H), 6.96 (s, 1H), 6.83 (m, 2H), 6.29 (br, 2H), 3.84 (s, -OCH₃, 3H), 3.72 (s, -OCH₃, 6H); ^{13}C NMR (100 MHz, CDCl_3 -DMSO-d₆) δ = (193.6), (162.4), (158.5), (158.2), (144.2), (136.0), (130.3), (129.2), (119.9), (118.1), (115.0), (111.4), (91.5), (56.2), (55.9); MS (ESI), (m/z): Teorik: 340.16; Deneysel: 341.18 [$\text{M}+\text{H}]^+$; Kapalı Formül: $\text{C}_{18}\text{H}_{18}\text{O}_5$; (Elementel Analiz) Teorik: (C: 68.78) (H: 5.77) (O: 25.45); Deneysel: (C: 68.76) (H: 5.81) (O: 25.42).



(CN), 1649, 1585, 1413, 1227, 1123, 976, 810, 791; ^1H NMR (400 MHz, DMSO-d₆) δ = 7.76 (d, J = 8 Hz. 1H), 7.49 (m, 2H), 7.38 (d, J = 16 Hz. 1H, AB sisteminin B parçası), 7.30 (m, 3H), 7.09 (m, 1H), 6.98 (d, J = 16 Hz. 1H, AB sisteminin A parçası), 6.17 (s, 2H), 3.87 (s, 3H), 3.79 (s, 6H), 2.12 (s, 6H); ^{13}C NMR (100 MHz, DMSO-d₆) δ = (193.4), (162.7), (161.4), (159.0), (154.0), (141.5), (138.1), (135.5), (131.0), (130.5), (126.1), (121.9), (121.7), (121.6), (119.9), (117.7 (CN)), (115.2 (CN)), (114.9), (111.5), (109.2), (90.7), (56.0), (55.5); MALDI-TOF-MS (m/z): Teorik: 440.43; Deneysel: 441.14 [$\text{M}+\text{H}]^+$; Kapalı Formül: $\text{C}_{26}\text{H}_{20}\text{N}_2\text{O}_5$; (Elementel Analiz) Teorik: (C: 70.90) (H: 4.58) (N: 6.36) (O: 18.16); Deneysel: (C: 70.93) (H: 4.57) (N: 6.39) (O: 18.12).



Şekil 2. 3 Numaralı bileşiğe ait sentez şeması (i: $\text{N}_2(\text{g})$, 60 °C, kuru DMF, kuru K_2CO_3)

2.2.3. *Metalsiz ftalosiyanyan (4) sentezi*

(3) Nolu bileşik (250 mg, 0.57 mmol), DBU (4 damla) ve kuru *n*-pentanol (6 mL) karışımı Schlenk tüpü içerisinde eklendi 160 °C'de $\text{N}_2(\text{g})$ atmosferinde 1 gün boyunca karıştırıldı. Reaksiyon sonunda karışım üzerine etanol ilave edildi ve geri soğutucu altında 4 saat reflux edildi. Çöken ham ürün süzülerek ayrıldı ve düşük basınç altında desikatörde kurutuldu. Daha sonra ham ürün kolon kromatografisi yöntemi ile saflaştırıldı [kloroform:metanol (100:4)]. Gerçekleştirilen reaksiyon Şekil 3'de gösterilmiştir. Verim: 79 mg (% 31). Erime noktası = >250 °C. FT-IR (KBr, cm^{-1}): 3287 (N-H), 3067, 2994, 2931, 2837, 1575, 1457, 1228, 1119, 1013, 977, 815, 751; ^1H NMR (400 MHz, DMSO-d₆) δ = 7.80-7.48 (m, 8H, ArH), 7.40-6.81 (m, 28H, ArH), 6.31-5.97 (m, 8H, ArH), 3.71 (s, 12H, -OMe), 3.62 (s, 24H, -OMe); UV-Vis (DMSO): λ_{max} , nm: 703, 666, 388 ; MALDI-TOF-MS (*m/z*): Teorik: 1763.81 ; Deneyel: 1917.99 [M+DHB]⁺.

2.2.4. *Periferal tetra sübstitüe metalli ftalosiyanyinlerin (5, 6, 7 ve 8) genel sentezi*

(3) Nolu bileşik (250 mg, 0.57 mmol), ilgili susuz metal tuzları [(M= CoCl_2 (36.40 mg, 0.28 mmol); CuCl_2 (37.67 mg, 0.28 mmol); M= NiCl_2 (36.30 mg, 0.28 mmol); M= $\text{Zn}(\text{CH}_3\text{COO})_2$ (51.35 mg, 0.28 mmol)], kuru *n*-pentanol (6 mL) ve DBU (4 damla), Schlenk tüpü içerisinde 160 °C'de $\text{N}_2(\text{g})$ atmosferinde 1 gün boyunca karıştırıldılar. Süre tamamlandıktan sonra karışımlara etanol ilave edildi ve geri soğutucu altında 4 saat reflux edildi. Çöken ham ürünler süzülerek ayrıldılar ve desikatörde kurutuldular. Daha sonra ham ürünler kolon kromatografisi yöntemi ile saflaştırıldı [kloroform:metanol (100:1.5)]. Gerçekleştirilen reaksiyonlar Şekil 3'de gösterilmiştir.

2.2.4.1. *Kobalt(II) ftalosiyanyan (5)*

Verim: 87 mg (% 33). Erime noktası = >250 °C. FT-IR (KBr, cm^{-1}): 3064, 2996, 2936, 2841, 1577, 1457, 1224, 1123, 1018, 975, 810, 754; UV-Vis

(DMSO): λ_{max} , nm: 673, 621, 382; MALDI-TOF-MS (*m/z*): Teorik: 1819.74; Deneyel: 1969.23 [M+DHB-4H]⁺.

2.2.4.2. *Bakır(II) ftalosiyanyan (6)*

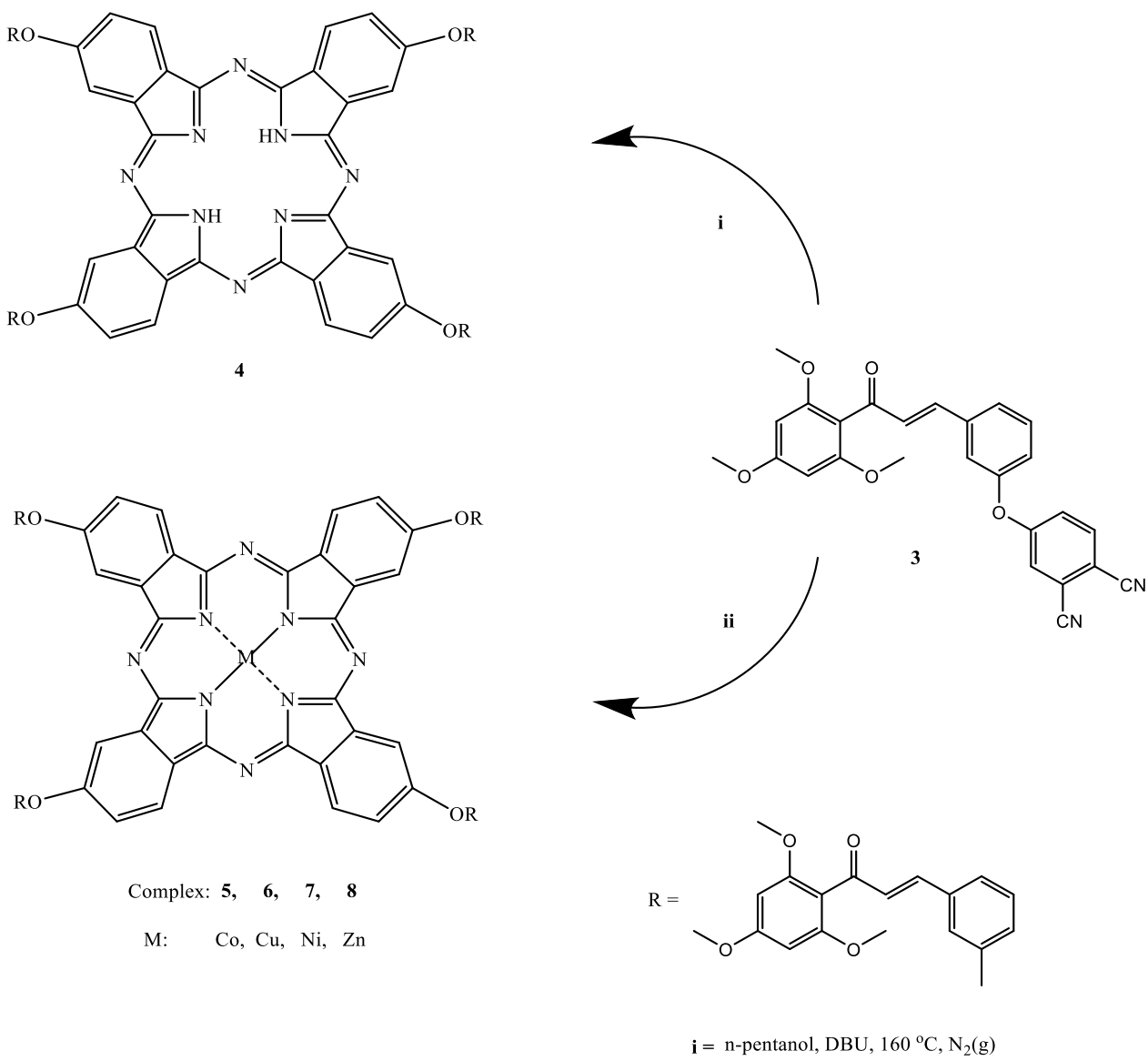
Verim: 92 mg (% 35). Erime noktası = >250 °C. FT-IR (KBr, cm^{-1}): 3061, 2996, 2936, 2837, 1579, 1455, 1224, 1016, 972, 810, 746; UV-Vis (DMSO): λ_{max} , nm: 679, 619, 380; MALDI-TOF-MS (*m/z*): Teorik: 1825.31; Deneyel: 1979.82 [M+DHB]⁺.

2.2.4.3. *Nikel(II) ftalosiyanyan (7)*

Verim: 89 mg (% 34). Erime noktası = >250 °C. FT-IR (KBr, cm^{-1}): 3065, 3000, 2937, 2838, 1578, 1457, 1225, 1018, 974, 810, 751; ^1H NMR (400 MHz, DMSO-d₆) δ = 7.85-7.46 (m, 8H, ArH), 7.38-7.03 (m, 28H, ArH), 6.21-6.05 (m, 8H, ArH), 3.76 (s, 12H, -OMe), 3.53 (s, 24H, -OMe); UV-Vis (DMSO): λ_{max} , nm: 671, 622, 379; MALDI-TOF-MS (*m/z*): Teorik: 1818.41; Deneyel: 1972.01 [M+DHB]⁺.

2.2.4.4. *Çinko(II) ftalosiyanyan (8)*

Verim: 98 mg (% 38). Erime noktası = >250 °C. FT-IR (KBr, cm^{-1}): 3007, 2938, 2839, 1579, 1455, 1226, 1019, 975, 809, 761; ^1H NMR (400 MHz, DMSO-d₆) δ = 7.72-7.40 (m, 8H, ArH), 7.35-6.84 (m, 28H, ArH), 6.39-6.15 (m, 8H, ArH), 3.70 (s, 12H, -OMe), 3.35 (s, 24H, -OMe); UV-Vis (DMSO): λ_{max} , nm: 672, 618, 380; MALDI-TOF-MS (*m/z*): Teorik: 1828.21; Deneyel: 1982.21 [M+H+DHB]⁺.



Şekil 3. 4, 5, 6, 7 ve 8 Numaralı bileşiklere ait sentez şeması

3. Bulgular ve tartışma

3.1. Sentez

Sentez çalışması özetle üç basamaktan oluşmaktadır. Bu basamaklar **1**, **3**, **4**, **5**, **6**, **7** ve **8** orijinal bileşikleri için Şekil 1, Şekil 2 ve Şekil 3'de sentez şeması olarak gösterilmiştir.

(-) Sentez çalışmasının ilk basamağında 2,4,6-trimetoksiasetofenon ile 3-hidroksibenzaldehit arasındaki reaksiyon sonucu hidroksil bileşiği (**1**) % 83 verimle saf olarak elde edilmiştir.

(--) İkinci basamakta hidroksil bileşiği (**1**) ile 4-nitroftalonitril (**2**) arasındaki reaksiyon sonucu (*E*-4-(3-(3-(2,4,6-trimetoksifenil)akriloil)fenoksi)ftalonitril (**3**)

bileşiği sentezlenmiştir. **3** Bileşiği kristalizasyon yöntemi ile saflaştırılmıştır ve % 80 verimle elde edilmiştir.

(---) Sentez çalışmasının son basamağında ise **3** bileşığının, *n*-pentanol, DBU ve çeşitli metal tuzları (CoCl₂, CuCl₂, NiCl₂, Zn(CH₃COO)₂) ile siklotetramerizasyon reaksiyonu sonucu periferal tetra-substituted metalsiz (H₂Pc **4**) ve metalli ftalosiyanyanlar (Co(II)Pc **5**, Cu(II)Pc **6**, Ni(II)Pc **7**, Zn(II)Pc **8**) elde edilmiştir. Sentezlenen komplekslerin saflaştırılması kolon kromatografisi yöntemi ile gerçekleştirilmiştir. Elde edilen ftalosiyanyanın komplekslerinin hepsi yaygın organik çözüçüler içerisinde çözünmüştür ve bu çalışmada tercih edilen dimetilsülfoksit (DMSO) çözucusu içerisinde agregasyon göstermemiştir.

3.2. Karakterizasyon

Çalışmanın karakterizasyon basamağında öncelikle elde edilen orijinal bileşiklerin (**1**, **3**, **4**, **5**, **6**, **7** ve **8**) infrared (IR), proton nükleer manyetik rezonans (¹H NMR), karbon nükleer manyetik rezonans (¹³C NMR), kütte (MS) ve elektronik absorpsiyon (UV-Vis) spektrumları alınmıştır. Elementel analiz orijinal bileşiklerin yapısal karakterizasyonunu desteklemek amacıyla gerçekleştirılmıştır. **1**, **3**, **4**, **5**, **6**, **7** ve **8** Bileşikleri için spektral karakterizasyon sonuçları aşağıda sırası ile yorumlanmıştır.

(-) **1** Bileşinin infrared spektrumunda 3219 cm^{-1} de -OH grubuna ait gerilim titreşimi gözlemlenmiştir. **1** Bileşği için infrared spektrumu yönünden en karakteristik pik -OH (hidroksil) gerilim titreşimi olduğundan bu gözlem bileşinin başarılı şekilde sentezlendiğini desteklemektedir. **1** Bileşinin proton nükleer manyetik rezonans spektrumunda $\delta = 9.64$ (-OH), 7.19 (m, 1H), 7.13 (d, $J = 16\text{ Hz.}$, 1H), 7.04 (br, 1H), 6.96 (s, 1H), 6.83 (m, 2H), 6.29 (br, 2H), 3.84 (s, -OCH₃, 3H), 3.72 (s, -OCH₃, 6H) protonları gözlemlenmiştir, bileşinin toplam hidrojen atomu sayısı ile spektrumunun uyum içerisinde olması yapısını doğrulamaktadır. Bileşin karbon sayısı ile karbon nükleer manyetik rezonans spektrumu da uyum içerisindeidir ve bu uyum bileşinin doğru şekilde elde edildiğini göstermektedir. **1** Nolu bileşik için alınan kütte spektrumunda $m/z = 341.18$ [M+H]⁺ 'de gözlemlenen moleküller iyon piki sentezlenen yeni bileşinin teorik olarak hesaplanan mol kütlesi ile uyumludur ayrıca elde edilen ürünün elementel analiz sonuçları kütte spektrumu ile birlikte bileşinin C₁₈H₁₈O₅ olan kapali formülünü doğrulamaktadır.

(--) Sentezi gerçekleştirilen **3** nolu ftalonitril bileşinin infrared spektrumunda 2233 cm^{-1} 'de nitril grubuna ait pik gözlemlenmiştir. **3** Bileşği için infrared spektrumu yönünden en karakteristik pik -CN (nitril) gerilim titreşimi olduğundan bu gözlem bileşinin başarılı şekilde sentezlendiğini desteklemektedir. **3** Nolu bileşinin proton nükleer manyetik rezonans spektrumunda $\delta = 7.76$ - 6.17 ppm aralığında aromatik protonlara ait ve 3.87 - 2.12 ppm aralığında ise alifatik protonlara ait kimyasal kayma değerleri gözlemlenmiştir. Sentezlenen bileşinin proton nükleer manyetik rezonans spektrumu bileşinin yapısı ile uyum içerisindeidir. **3** Nolu bileşinin karbon nükleer manyetik rezonans spektrumunda sırası ile 115.2 ve 117.7 ppm'de -CN (nitril) grubunun karbon atomlarına ait piklerinin gözlemlenmesi önerilen yeni dinitril bileşinin başarılı şekilde

sentezlendiğini göstermektedir. Son olarak **3** nolu bileşik için alınan kütte spektrumunda $m/z = 441.14$ [M+H]⁺ 'de gözlemlenen moleküller iyon piki sentezlenen yeni bileşinin teorik olarak hesaplanan mol kütlesi ile uyumludur. Kütte spektrumu sonucu ile **3** bileşinin elementel analiz sonuçları uyum içerisindeidir ve her ikisi birden bileşinin başarılı şekilde elde edildiğini kanıtlıdır.

(---) Değerlendirmede bütünlük oluşturmak adına aşağıdaki her bir paragrafta **4**, **5**, **6**, **7** ve **8** komplekslerinin sırası ile infrared (IR), kütte (MS), elektronik absorpsiyon (UV-Vis), proton ve karbon nükleer manyetik rezonans (¹H NMR ve ¹³C NMR) spektrumları birlikte yorumlanmıştır.

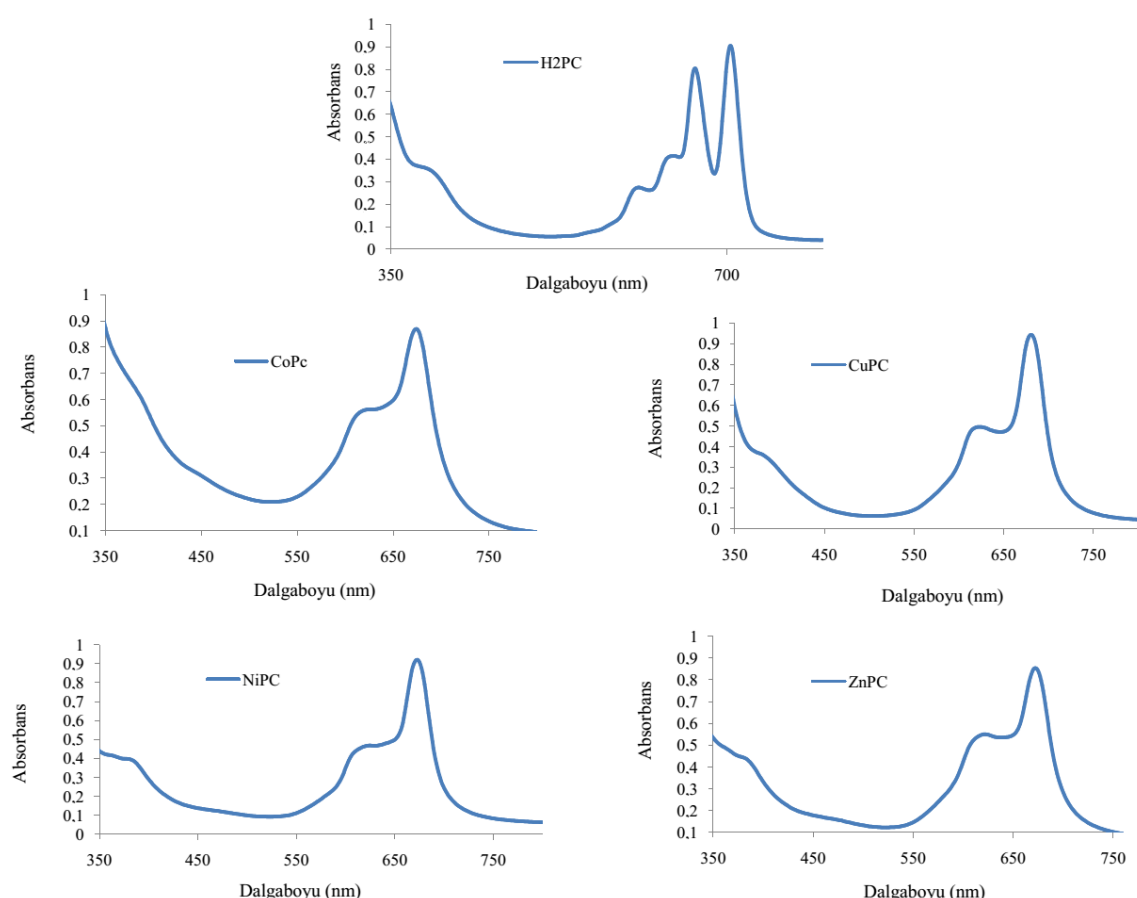
H₂Pc (**4**) Bileşinin infrared spektrumunda, (*E*)-4-(3-(3-(2,4,6-trimetoksifenil)akriloil)fenoksi)ftalonitril (**3**) bileşinin 2233 cm^{-1} 'de görülen nitril grubuna ait pik kaybolmuştur. Ayrıca H₂Pc (**4**) bileşinin infrared spektrumunda 3287 cm^{-1} 'de halka içi N-H grubuna ait pik ortaya çıkmıştır. Gözlemlenen bu farklılıklar (**3**) bileşigi üzerinden metalsiz ftalosianın (**4**) bileşinin sentezlendiğini desteklemektedir. Sentezi gerçekleştirilen kobalt(II) ftalosianın (**5**), bakır(II) ftalosianın (**6**), nikel(II) ftalosianın (**7**) ve çinko(II) ftalosianın (**8**) bileşiklerinin infrared spektrumları birbirine çok benzerdir. Her dört ftalosianın bileşinin infrared spektrumunda **3** bileşinin nitril grubuna ait 2233 cm^{-1} de görülen pikin kaybolması **3** bileşigi üzerinden bahsedilen metalli ftalosianın komplekslerinin elde edildiğini göstermektedir.

Ftalosianlar oldukça büyük molekül ağırlığına sahip bileşiklerdir ayrıca metanol gibi çözücülerde düşük çözünürlük göstermektedirler. Bu sebeplerden dolayı kütte spektrumları küçük molekül ağırlıklı ve çözünürlüğü yüksek organik bileşiklere göre daha zor yorumlanmaktadır. Fragment analizi ile sonuç alınması büyük molekül ağırlıkları sebebiyle çoğu zaman mümkün olmamaktadır. Sentezi gerçekleştirilen **4**, **5**, **6**, **7** ve **8** bileşiklerinin MALDI-TOF yöntemiyle alınan kütte spektrumlarında matriks olarak dihidroksibenzoikasit (DHB) kullanılmıştır (**Göksoy vd; 2016**). DHB bileşinin mol kütlesi 154.12 g/mol dır. Metalsiz ftalosianın (**4**) bileşigi için kütte spektrumunda $m/z: 1917.99$ [M+DHB]⁺ iyon piki gözlemlenmiştir ve bu değer (**4**) bileşinin teorik olarak hesaplanan mol kütlesi ile uyum içerisindeidir. Sentezi gerçekleştirilen kobalt(II), bakır(II), nikel(II) ve çinko(II) metaloftalosianların (**5**, **6**, **7** ve **8**) teorik olarak hesaplanan mol kütelleri sırası ile 1819.74 ,

1979.82, 1818.41 ve 1982.21 g/mol dür. Bu bileşiklerin kütle spektrumları incelendiğinde kobalt(II) ftalosyanın için m/z : 1969.23 [M+DHB-4H]⁺, bakır(II) ftalosyanın için m/z : 1979.82 [M+DHB]⁺, nikel(II) ftalosyanın için m/z : 1972.01 [M+DHB]⁺ ve çinko(II) ftalosyanın için m/z : 1982.21 [M+H+DHB]⁺ moleküler iyon pikleri gözlemlenmiştir. Bu değerler sentezlenen ftalosyanın komplekslerinin önerilen yapısını desteklemektedir.

Ftalosyanın elektronik absorpsiyon spektrumları yaklaşık olarak 630-780 nm aralığında keskin bir Q bandı ve yaklaşık olarak 320-380 nm aralığında zayıf bir B (Soret) bandı olmak üzere iki kısma ayrılr. Her iki absorpsiyon

bandı $\pi-\pi^*$ geçişlerinden oluşur. Q bandı ftalosyanınların metal içerip içermediklerine dair bilgi edinmemize yardımcı olur. Metalli ftalosyanınlarde ftalosyanın halkasında bulunan metal iyonu halka ile dört adet eşdeğer bağ yapar ve simetri D_{4h} olarak belirlenir ve bu simetriden dolayı Q bandı keskin bir pik olarak gözlemlenir (Mack vd; 2001). Metalsız ftalosyanınlarde simetri D_{2h} olarak belirlenir ve simetrinin düşmesi, Q bandının yarılarak iki eşit pik olarak gözlemlenmesine neden olur (Kobayashi vd; 2000). **4, 5, 6, 7** ve **8** Bileşiklerinin 25 °C'de DMSO içinde 1×10^{-5} M konsantrasyonda kaydedilen elektronik absorpsiyon spektrumları Şekil 4'te görülmektedir.



Şekil 4. H₂Pc (4), Co(II)Pc (5), Cu(II)Pc (6), Ni(II)Pc (7) ve Zn(II)Pc (8) Bileşiklerinin oda sıcaklığında DMSO içinde 1×10^{-5} M konsantrasyonda kaydedilen UV-Vis spektrumları

Metalsız ftalosyanın (**4**) bileşığının elektronik absorpsiyon spektrumunda Q band absorpsiyonları λ_{max} : 703 ve 666 nm'de ve B bandabsorpsiyonu ise λ_{max} : 388nm'de gözlemlenmiştir. Bileşığın elektronik absorpsiyon spektrumunda 703 ve 666 nm civarında görülen yarılmış Q bandına sahip olması kavitesine herhangi bir metal iyonu bağlamadığını göstermektedir. Kobalt(II), bakır(II), nikel(II) ve çinko(II)

metalloftalosyanınlarin (**5**, **6**, **7** ve **8**) elektronik absorpsiyon spektrumlarda sırasıyla 673, 679, 671 ve 672 nm'de gözlenen pikler ikiye yarılmamış keskin Q bandına aittir. B bandları kobalt(II) ftalosyanın (**5**) için 382 nm'de, bakır(II) ftalosyanın (**6**) için 380 nm'de, nikel(II) ftalosyanın (**7**) için 379 nm'de ve çinko(II) ftalosyanın (**8**) için 380 nm'de gözlemlenmiştir. **5**, **6**, **7** ve **8** Komplekslerinin UV-Vis spektrumlarında tek ve keskin bir Q bandına sahip olması, metalli

ftalosyaninlerin D_{4h} simetrisi ve genel UV-Vis spektrumları ile uyumludur.

Paramanyetik kobalt(II) ve bakır(II) iyonlarını bulundurmaları sebebiyle **5** ve **6** numaralı ftalosyanın komplekslerinin proton ve karbon nükleer manyetik rezonans spektrumları alınamamaktadır ([Değirmencioğlu vd; 2012](#)). **(3)** Nolu bileşik üzerinden sentezlenen H_2Pc bileşığının (**4**) proton nükleer manyetik rezonans spektrumunda metalsiz ftalosyanının (**4**) halka içinde bulunan protonlarına ait sinyal, ölçümler esnasında hazırlanan çözeltilerin yüksek konsantrasyonlu olması ve bu konsantrasyonda molekülün muhtemel agregasyonu sebebiyle gözlenmemiştir ([Değirmencioğlu vd; 2011](#)). Bileşigin 1H NMR spektrumunda bekleniği gibi başlangıç (**3**) bileşığının 1H NMR spektrumundan çok farklı olmamakla birlikte aromatik protonlara ait kimyasal kayma değerleri 7.80-5.97 ppm aralığında, alifatik protonlara ait kimyasal kayma değerleri ise sırasıyla 3.71 ve 3.62 ppm'de gözlemlenmiştir. Nikel(II) ftalosyanının (**7**) bileşığının dötoro DMSO'da alınan proton nükleer manyetik rezonans spektrumunda kimyasal kayma değerleri aromatik protonlar için 7.85-6.05 ppm aralığı olarak, alifatik protonlar içinse 3.76 ppm ve 3.53 ppm olarak belirlenmiştir. Bu değerler aynı proton sayısına sahip çinko(II) ftalosyanının (**8**) için 7.72-6.15 ppm aralığı (ArH), 3.70 ppm (-OMe) ve 3.35 ppm (-OMe) olarak değişiklik göstermiştir. Proton nükleer manyetik rezonans spektrum sonuçları **4**, **7** ve **8** bileşiklerinin belirlenen yapıları ile uyum içerisindeidir.

4. Sonuçlar

Bu çalışma kapsamında sentez ve karakterizasyonu gerçekleştirilen hidroksil bileşigi **1**, ftalonitril bileşigi **3**, metalsiz ve metalli ftalosyanın kompleksleri **4**, **5**, **6**, **7** ve **8** orijinal bileşikler olup literatürde bulunmamaktadır. Ftalonitril bileşigi **3** üzerinden metalsiz, diamanyetik nikel(II) ve çinko(II) aynı zamanda paramanyetik kobalt(II) ve bakır(II) merkez metal iyonları içeren periferal tetra substitue ftalosyanın kompleksleri sentezlenmiştir. Sentezi gerçekleştirilen tüm yeni bileşikler (**1**, **3**, **4**, **5**, **6**, **7** ve **8**) Infrared, 1H NMR, ^{13}C NMR, MS, elektronik absorpsiyon spektroskopisi ve elementel analiz teknikleri kullanılarak karakterize edilmiştir. Sentez ve karakterizasyonu gerçekleştirilen tüm kompleksler (**4**, **5**, **6**, **7** ve **8**) kloroform ($CHCl_3$), diklorometan (CH_2Cl_2), tetrahidrofuran (THF), dimetilsülfoksit (DMSO) ve dimetilformamid (DMF) gibi yaygın organik çözücüler içerisinde çözülmektedir ve bu çalışmada tercih edilen dimetilsülfoksit (DMSO)

çözücü içinde agregasyon göstermemektedir. Bu durum sentez ve karakterizasyonu gerçekleştirilen ftalosyanın komplekslerini farklı uygulama alanları için çalışılabilir kılmaktadır. Bu çalışma alanları için bir değerlendirme yapıldığında; hem kobalt(II) ftalosyanının (**5**) hem de bakır(II) ftalosyanının (**6**) bileşikleri için daha ileri aşamalarda katalizör özellikleri incelenebilir ve ayrı bir çalışma olarak literatüre kazandırılabilir. Substitüe metalli ftalosyanlerden çinko ftalosyanın PDT için en uygun fotosensitizerlerden biridir. Ayrıca literatür incelendiğinde tetra substitüe metalsiz ftalosyanlerin de fotodinamik terapi için fotosensitizer özelliklerinin incelendiği görülmektedir. Dolayısı ile metalsizftalosyanın (**4**) ve çinko(II) ftalosyanın (**8**) bileşikleri için daha ileri aşamalarda fotosensitizer özelliklerinin incelenmesi üzerine farklı bir çalışma gerçekleştirilebilir ve sonuçların olumlu olması durumunda bu çalışma da literatüre kazandırılabilir.

Kaynaklar

- Ao, R., Kümmel, L. and Haarer, D. (1995). Present limits of data storage using dye molecules in solid matrices. *Advanced Materials*, 7, 495-499, <https://doi.org/10.1002/adma.19950070522>
- Bekaroğlu, Ö. (1996). Phthalocyanines containing macrocycles applied. *Organometallic Chemistry*, 10, 605-622, [https://doi.org/10.1002/\(SICI\)1099-0739\(199610\)10:8<605::AID-AOC527>3.0.CO;2-U](https://doi.org/10.1002/(SICI)1099-0739(199610)10:8<605::AID-AOC527>3.0.CO;2-U)
- Değirmencioğlu, İ., Bayrak, R., Akçay, H. T., Pişkin, M. and Durmuş, M. (2012). Azine-bridged binuclear metallophthalocyanines functioning photophysical and photochemical-responsive. *Dyes and Pigments*, 95, 330-337, <https://doi.org/10.1016/j.dyepig.2012.05.010>
- Değirmencioğlu, İ., Bayrak, R., Er, M. and Serbest, K. (2011). New olefinic centred binuclear clamshell type phthalocyanines: design, synthesis, structural characterization, the stability and the change in the electron cloud at olefine-based symmetrical diphthalonitrile fragment by the combined application of UV-Vis electronic structure and theoretical methods. *Polyhedron*, 30, 1628-1636, <https://doi.org/10.1016/j.poly.2011.03.039>
- Dini, D., Barthel, M., Schneider, T., Ottmar, M., Verma, S. and Hanack, M. (2003). Phthalocyanines and related compounds as switchable materials upon strong irradiation: the molecular engineering behind the optical limiting effect. *Solid State*

- Ionics*, 165, 289–303,
<https://doi.org/10.1016/j.ssi.2003.08.046>
- Göksoy, B., Orman, E. B., Kuruca, H., Bulut, M., Durmuş, M. and Özkaya A. R. (2016). Mono and double decker lutetium phthalocyanines bearing iodine groups electrochemical and electrochromic properties. *Journal of the Electrochemical Society*, 163, 927-936, <https://doi.org/10.1149/2.0421610jes>
- Kluson, P., Drobek, M., Kalaji, A., Zarubova, S., Krysa, J. and Rakusan, J. (2008). Singlet oxygen photogeneration efficiencies of a series of phthalocyanines in well-defined spectral regions. *Journal of Photochemistry and Photobiology A: Chemistry*, 199, 267–273, <https://doi.org/10.1016/j.jphotochem.2008.06.003>
- Kobayashi, N., Muranaka, A. and Ishii, K. (2000). Symmetry-lowering of the phthalocyanine chromophore by a C₂ type axial ligand. *Inorganic Chemistry*, 39, 2256-2257, <https://doi.org/10.1021/ic9914950>
- Mack, J. and Stillman, M. J. (2001). Assignment of the optical spectra of metal phthalocyanines through spectral band deconvolution analysis and zindo calculations. *Coordination Chemistry Reviews*, 219-221, 993-1032, [https://doi.org/10.1016/S0010-8545\(01\)00394-0](https://doi.org/10.1016/S0010-8545(01)00394-0)
- Mutlu, F., Pişkin, M., Canpolat, E. and Öztürk, Ö. F. (2020). The new zinc(II) phthalocyanine directly conjugated with 4-butylmorpholine units: synthesis, characterization, thermal, spectroscopic and photophysical properties. *Journal of Molecular Structure*, 1201, 127169, <https://doi.org/10.1016/j.molstruc.2019.127169>
- Sarkı, G., Kantekin, H., Yalazan, H., Kahriman, N., Büyüklüoğlu, Z. and Serdaroglu, V. (2019). Synthesis, characterization and electrochemical studies of metal-free and metallophthalocyanines containing two different chalcone units substituted on peripherally positions. *Journal of Molecular Structure*, 1196, 592-603, <https://doi.org/10.1016/j.molstruc.2019.05.123>
- Ünlü, S., Yaraşır, M. N., Kandaz, M., Koca, A. and Salih, B. (2008). Synthesis, spectroscopy and electrochemical properties of highly soluble fluoro containing phthalocyanines. *Polyhedron*, 27, 2805-2810, <https://doi.org/10.1016/j.poly.2008.05.036>
- Yongde, Y. and Zhenguo, J. (2006). Improved photoreceptor decay characteristics of vanadyl-phthalocyanine films annealed under magnetic field. *Journal of Photochemistry and Photobiology A: Chemistry*, 179, 348–350, <https://doi.org/10.1016/j.jphotochem.2005.09.005>